

УДК 532.526

ЭКСПЕРИМЕНТАЛЬНОЕ ИССЛЕДОВАНИЕ  
ВЫСОКОЧАСТОТНЫХ ВТОРИЧНЫХ ВОЗМУЩЕНИЙ  
В ПОГРАНИЧНОМ СЛОЕ СКОЛЬЗЯЩЕГО КРЫЛА \*

*A. B. Бойко, B. B. Козлов, B. B. Сызранцев, B. A. Щербаков*

*Институт теоретической и прикладной механики СО РАН,  
630090 Новосибирск*

**Введение.** Одна из часто встречающихся особенностей перехода к турбулентности в пристенных течениях — появление локализованных в пространстве вихревых структур, к которым можно отнести А-образные вихри на плоской пластине, вихри Гёртлера на искривленных поверхностях, вихри неустойчивости поперечного течения на скользящем крыле и т. п. При всем разнообразии механизмов, порождающих подобные структуры, сами они характеризуются сильной локализацией в трансверсальном и большой протяженностью в продольном относительно скорости местного течения направлениях, достигая амплитуд 10 % и более от этой скорости. Их квазистационарность в продольном направлении является необходимым условием возникновения на них вторичных высокочастотных неустойчивостей [1, 2], развитие которых ниже по потоку может приводить к окончательной стохастизации течения. В частности, в течении на скользящем крыле это способствует переходу даже при докритических (относительно неустойчивости невозмущенного пограничного слоя) числах Рейнольдса [2–4].

Большую роль в процессе развития вторичных возмущений играет начальный уровень неоднородности потока [5], регламентирующий амплитуду стационарных вихрей и возмущений на них, что определяет их суммарное воздействие на процесс перехода. Это приводит к тому, что при проведении экспериментов в недостаточно контролируемых или «естественных» условиях переход к турбулентности может происходить по-разному, что затрудняет сравнение результатов, полученных в различных работах. В частности, в экспериментах [4] обнаружено наличие двух различных типов усиливающихся вниз по потоку возмущений, каждое из которых, вероятно, в тех или иных условиях может доминировать в процессе перехода. Однако детальное исследование относительного влияния этих возмущений на переход к турбулентности не было проведено.

Появление нескольких типов неустойчивости обнаружено и в расчетах [6] при достижении амплитудами стационарных вихрей на скользящем крыле значений, превышающих 10 % от местной скорости внешнего потока  $U_0$ , причем их характерные частоты и коэффициенты усиления могли отличаться в несколько раз. Сходная ситуация наблюдается и на вихрях Гёртлера, где также существует несколько типов возмущений, определяющих переход на каждой отдельной паре вихрей [7, 8]. Видимо, существование нескольких усиливающихся вихревых мод является характерной чертой для целого класса течений пограничного слоя, содержащих стационарные или сильно вытянутые в продольном направлении вихри.

Экспериментальное моделирование подобных течений в контролируемых условиях, например, использованное применительно к изучению вто-

\*Работа выполнена при финансовой поддержке Российского фонда фундаментальных исследований (код проекта 93-013-17359).

ричной неустойчивости на скользящем крыле в [9], дает возможность выделять эти неустойчивости и изучать их как по отдельности, так и при взаимодействии друг с другом, со средним течением и возмущениями других типов.

Данная работа является непосредственным продолжением [9] и сделана тем же коллективом авторов. В [9] описаны динамика развития одного из типов вторичных возмущений и их влияние на процесс перехода в условиях больших (до 30 % от скорости внешнего течения  $U_0$ ) амплитуд стационарных вихрей. В настоящих экспериментах ставилась цель попытаться смоделировать развитие иного типа бегущих волн, порождающихся на отдельном стационарном вихре в пограничном слое скользящего крыла, и оценить его влияние на переход к турбулентности.

**Методика экспериментов** в целом совпадает с описанной в [9]. Эксперименты проводились в дозвуковой малотурбулентной аэродинамической трубе Т-324 Института теоретической и прикладной механики СО РАН. Аэродинамическая труба Т-324 замкнутого типа с закрытой рабочей частью квадратного сечения 1×1 м и длиной 4 м. Степень турбулентности потока в рабочей части при скорости проведения эксперимента 7 м/с не превышала 0,04 % от скорости набегающего потока  $U_\infty$ .

Схема эксперимента приведена на рис. 1. В качестве рабочей модели выбран высоконесущий крыловый профиль типа С-12 [10] с углом скольжения 30° и хордой 500 мм. Профиль состоит из симметричного оживального носика толщиной 16 % хорды и длиной 5,6 см, переходящего в две одинаковые сходящиеся плоские поверхности. Профиль располагался вертикально и жестко крепился к горизонтальным стенкам рабочей части, так, чтобы рабочая поверхность профиля представляла собой плоскую пластину, расположенную под нулевым углом атаки.

Стационарные возмущения развивались за выступом, приклеенным к поверхности, форма, размеры и положение которого на крыле показаны на рис. 1. Во избежание срывов потока один конец выступа был продолжен на нерабочую сторону крыла, а другой сглажен.

Использовалась система координат, в которой ось  $X$  направлена параллельно набегающему потоку, ось  $Z$  (вдоль размаха модели) — в сторону тока поперечного течения, ось  $Y$  отсчитывается от поверхности крыла по нормали к ней. Координатное устройство, удерживавшее датчик, было модифицировано по сравнению с [9], что позволило снять некоторые ограничения на перемещения в плоскости  $XZ$ . Оно обеспечивало перемещение вдоль поверхности крыла с точностью 0,5 мм, а по нормали к крылу — 0,01 мм. Координата  $Y = 0$  определялась визуально с точностью  $\approx 0,1$  мм и более точно путем линейной экстраполяции до нуля невозмущенных профилей средней скорости ламинарного пограничного слоя.

Основные термоанеметрические измерения велись в центральной части модели, где вторичное течение уже практически отсутствовало. Измерялись только продольные компоненты средней и пульсационной скоростей  $U$  и  $u'$ . Эти величины определялись с помощью термоанемометра, откуда они поступали через аналого-цифровой преобразователь в персональный компьютер, где сигналы в ходе эксперимента линеаризовывались и подвергались дальнейшей обработке по специально разработанной про-

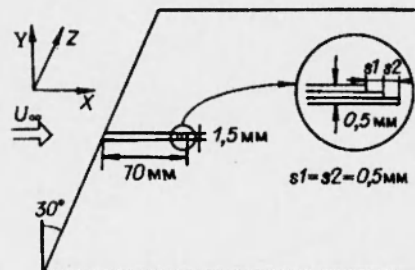


Рис. 1

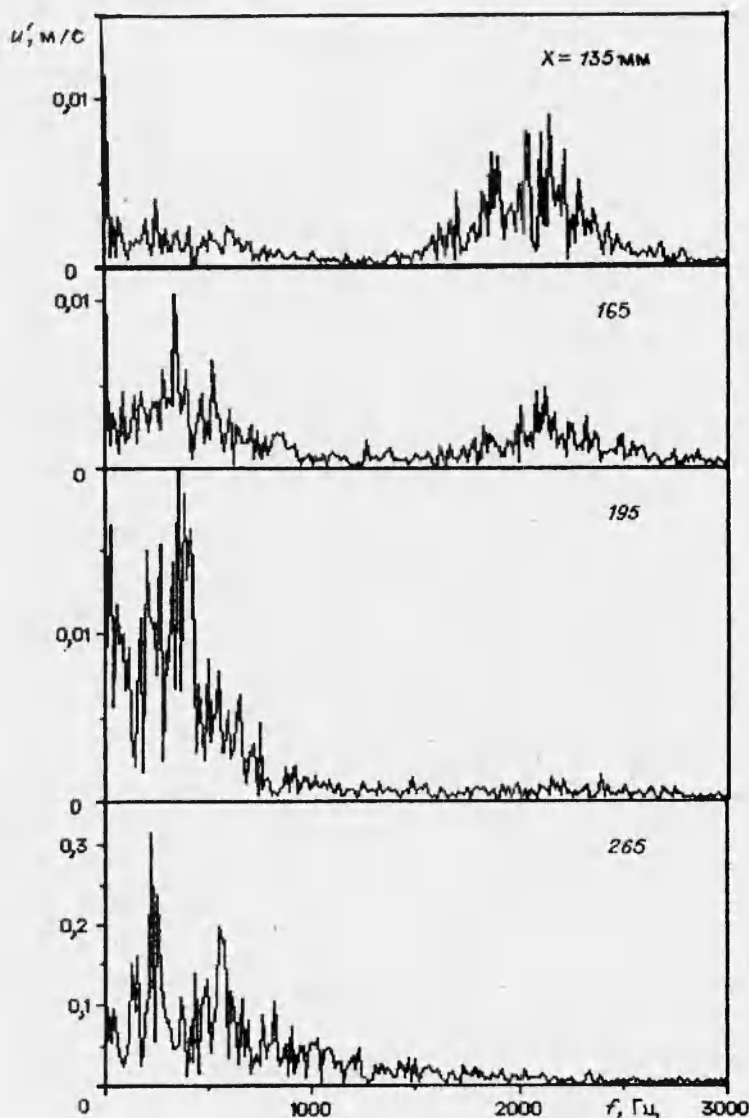


Рис. 2

граммме. Фазовое детектирование позволяло получить количественную информацию о поведении контролируемых волн в вихре, даже если их амплитуда оказывалась значительно ниже фоновых возмущений.

Для возбуждения бегущих волн в пристенном течении использовалась методика преобразования звуковых колебаний в вихревые возмущения сдвигового слоя на локальной неоднородности поверхности, описанная в [11]. Акустические колебания генерировались двумя динамическими громкоговорителями, находившимися за моделью в диффузоре трубы и излучавшими звук против направления потока. Частоты, подаваемые на динамики, задавались с помощью генераторов звуковых сигналов.

**Существование высокочастотных возмущений.** Спектральные измерения показали, что в вихре формируются несколько (по крайней мере, два) пакетов возмущений с центральными частотами вблизи  $f = 400$  и  $1800$  Гц, что демонстрируется набором спектрограмм на рис. 2, полученных в различных положениях по  $X$  при фиксированном  $Y$  вблизи максимума

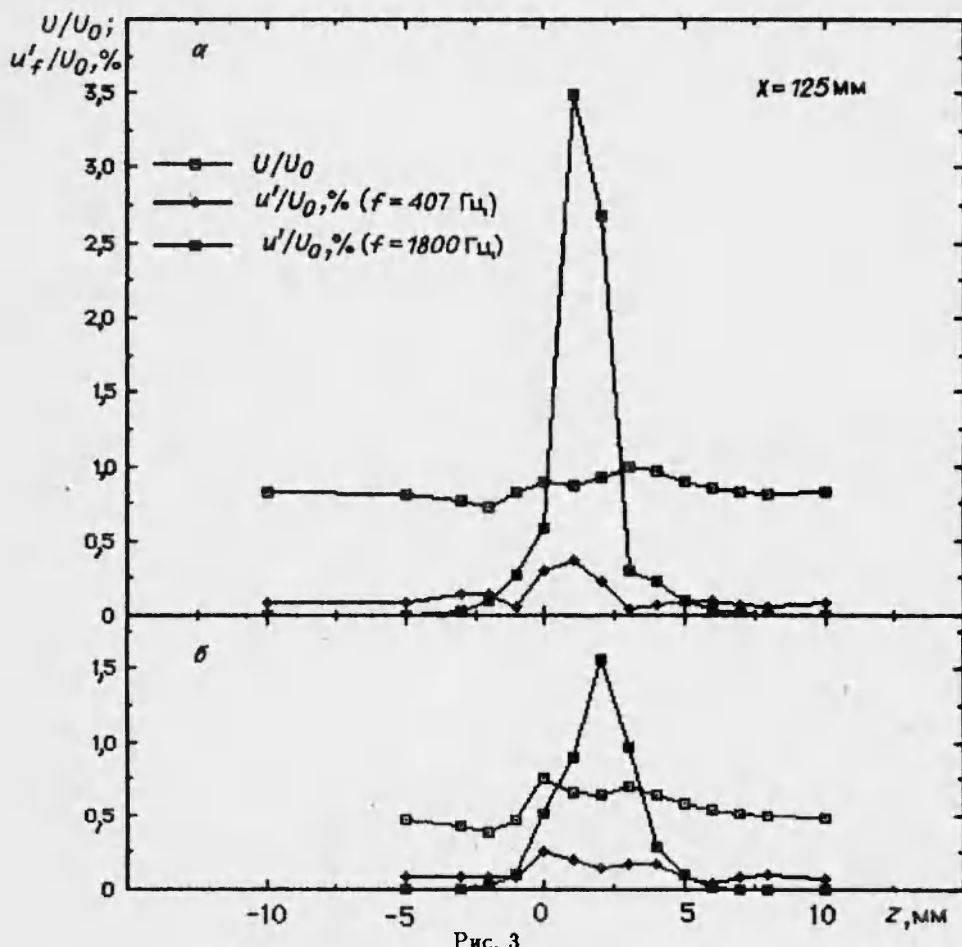


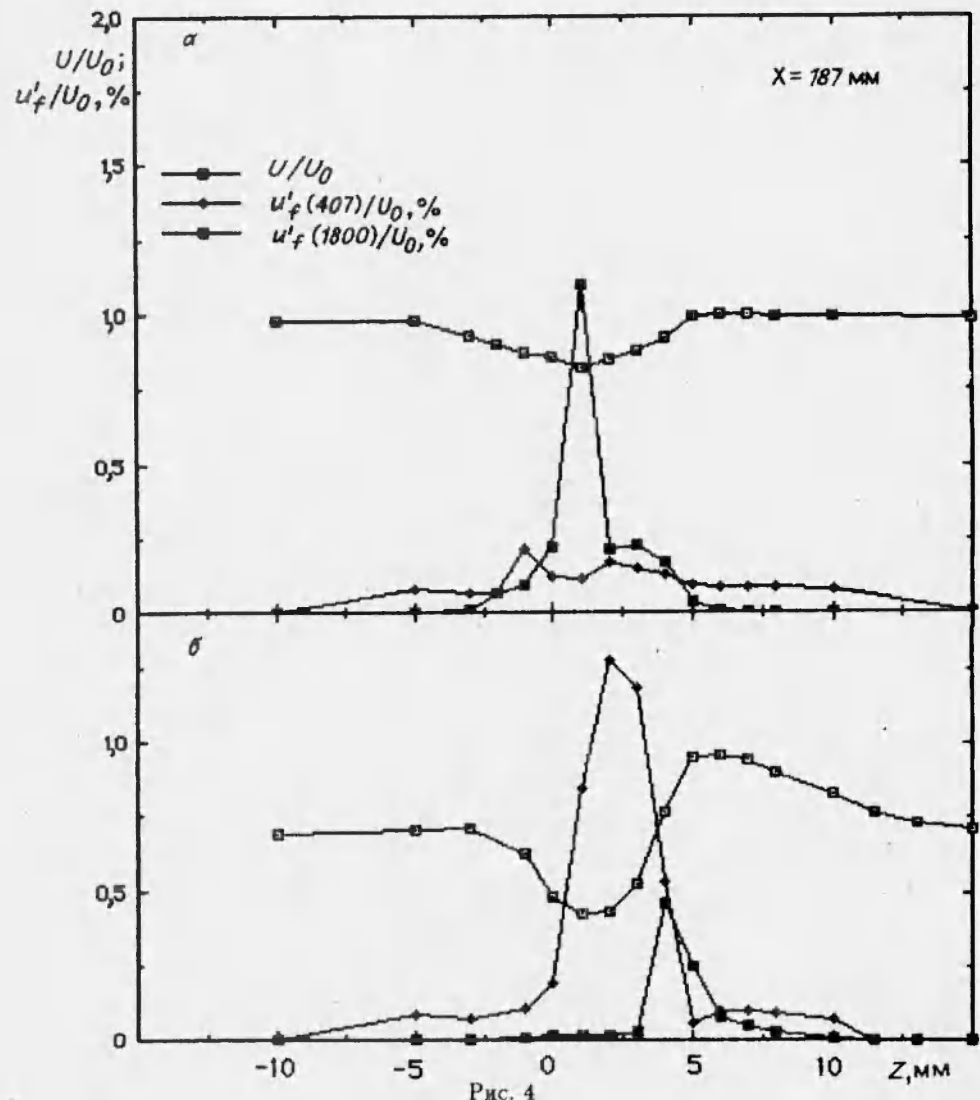
Рис. 3

мума интегральных пульсаций внутри вихря. Отметим, что спектры для  $X = 135; 165; 195 \text{ мм}$  приведены в одном масштабе, а для  $X = 265 \text{ мм}$  — в другом.

Видно, что если при  $X = 135 \text{ мм}$  в спектре выделяется пакет с центральной частотой вблизи  $1800 \text{ Гц}$ , то ниже по потоку к  $X = 195 \text{ мм}$  он постепенно затухает, но уже при  $X = 165 \text{ мм}$  начинают усиливаться более низкочастотные колебания с центральной частотой около  $400 \text{ Гц}$ , которые при  $X = 265 \text{ мм}$  и ниже по потоку приводят к постепенному заполнению спектра. В дальнейшем для краткости эти пакеты различаются как высокочастотный и низкочастотный соответственно.

Развитие низкочастотного пакета в контролируемых условиях изучалось в [9]. Повторим, что та же методика измерений применялась и здесь для изучения характеристик высокочастотных колебаний и их влияния на развитие низкочастотных возмущений и переход к турбулентности. В качестве затравочных были выбраны частоты  $1800$  и  $410 \text{ Гц}$ , близкие к центральным частотам пакетов волн.

В [9] обнаружено, что максимум низкочастотных колебаний наблюдается вблизи перегиба или максимального градиента в трансверсальном распределении средней скорости. Осредненные распределения средней скорости  $U(Z)$  (ограниченность такого представления обсуждается в следующем пункте) и возбуждаемых возмущений обеих частот  $u'_f(Z)$ , измеренные в полосе  $4 \text{ Гц}$ , для  $X = 125 \text{ мм}$  приведены на рис. 3, а для



$X = 187 \text{ mm}$  — на рис. 4, т. е. в точках из области по  $X$ , где оба возмущения существуют и четко детектируются. Измерения проводились в двух сечениях по  $Y$  — приблизительно в центре ( $b$ ) и на внешней границе пограничного слоя ( $a$ ). Распределения скорости  $U(Z)$  нормированы на  $U_0$ , а  $u'_f(Z)$  даны в процентах от  $U_0$ . Видно, что возмущения локализованы по-разному как по  $Z$ , так и по  $Y$ . В частности, высокочастотное колебание имеет значительно большую интенсивность в верхней части вихря, тогда как низкочастотное тяготеет к поверхности.

При  $X = 125 \text{ mm}$  максимум возмущений частоты 1800 Гц в распределении по  $Z$  находится вблизи небольшого провала в распределении скорости  $U(Z)$ , достигая при выбранной интенсивности звука 3,5 %. Амплитуды низкочастотных колебаний существенно меньше, и их максимум  $u'_f \approx 0,3 \%$  выражен значительно слабее. К  $X = 187 \text{ mm}$  провал в распределении средней скорости постепенно исчезает и одновременно происходят затухание высокочастотной волны до  $u'_f \approx 1,0 \%$  и усиление низкочастотной до 1,3 %. Сходный провал в трансверсальном распределении средней скорости наблюдался в [4], где был приписан нелинейному искажению

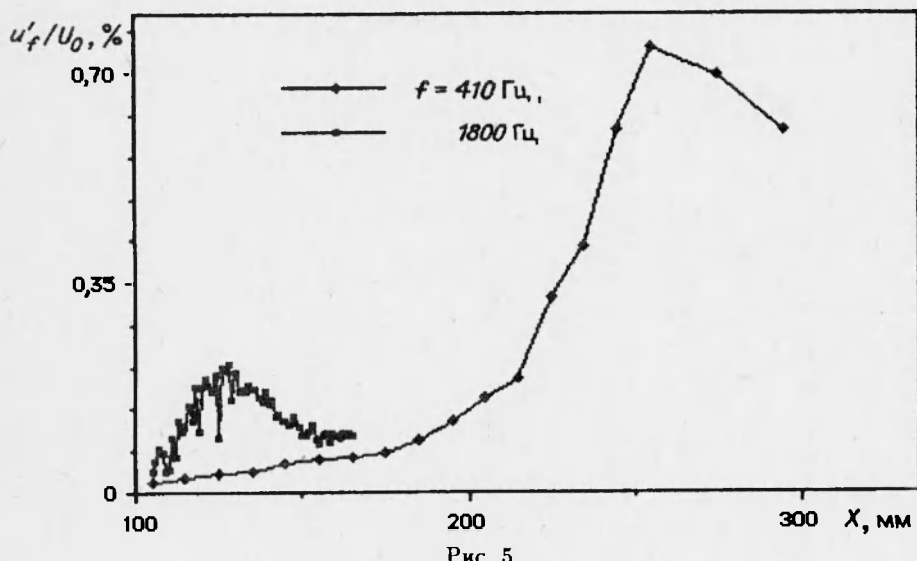


Рис. 5

формы вихря в результате образования на нем гребня и его обрушения, приводящего к вторичному притоку низкоскоростной жидкости к поверхности.

На данном этапе исследований нельзя сделать определенных выводов относительно причинно-следственной связи между появлением провала в распределении средней скорости и развитием высокочастотного возмущения. В частности, можно предположить, что в верхней части стационарного вихря существует еще один сильно локализованный вихрь, диссирирующий вниз по потоку. Вместе с тем результаты, излагаемые в следующем пункте, показывают, что появление этого провала может быть итогом сильного воздействия естественных высокочастотных возмущений на среднее течение.

**Влияние высокочастотных возмущений на переход.** Как уже обсуждалось выше, в естественном случае изначально могут существовать, по крайней мере, два волновых пакета, которые претерпевают вниз по потоку различную эволюцию. Амплитуда низкочастотных возмущений растет, и происходит постепенное заполнение спектра. Высокочастотный пакет постепенно затухает и в переходе непосредственного участия не принимает.

Кривые усиления исследуемых частот в полосе 4 Гц, снятые при фиксированном расстоянии от поверхности модели вблизи максимумов вводимых по отдельности возмущений частот 410 и 1800 Гц, показаны на рис. 5. Как и в естественном случае, переход происходит через нарастание низкочастотных пульсаций в области по  $X$ , когда высокочастотное возмущение уже практически не регистрируется, причем инкременты низкочастотных колебаний в несколько раз больше, чем для высокочастотных. В то же время фазовые скорости возмущений обеих частот оказались близкими к  $\approx 0,56$  от  $U_0$  на большем участке развития волны, что указывает на возможность эффективного нелинейного взаимодействия при передаче энергии между возмущениями в области их сосуществования.

В дальнейшем большинство измерений проводилось в диапазоне  $X = 100\text{--}200 \text{ мм}$ , т. е. в области, захватывающей неустойчивость высокочастотной волны. Интенсивность этой волны была такой же, как и для рис. 5.

Известно, что введение новых, пусть и малых, возмущений может в

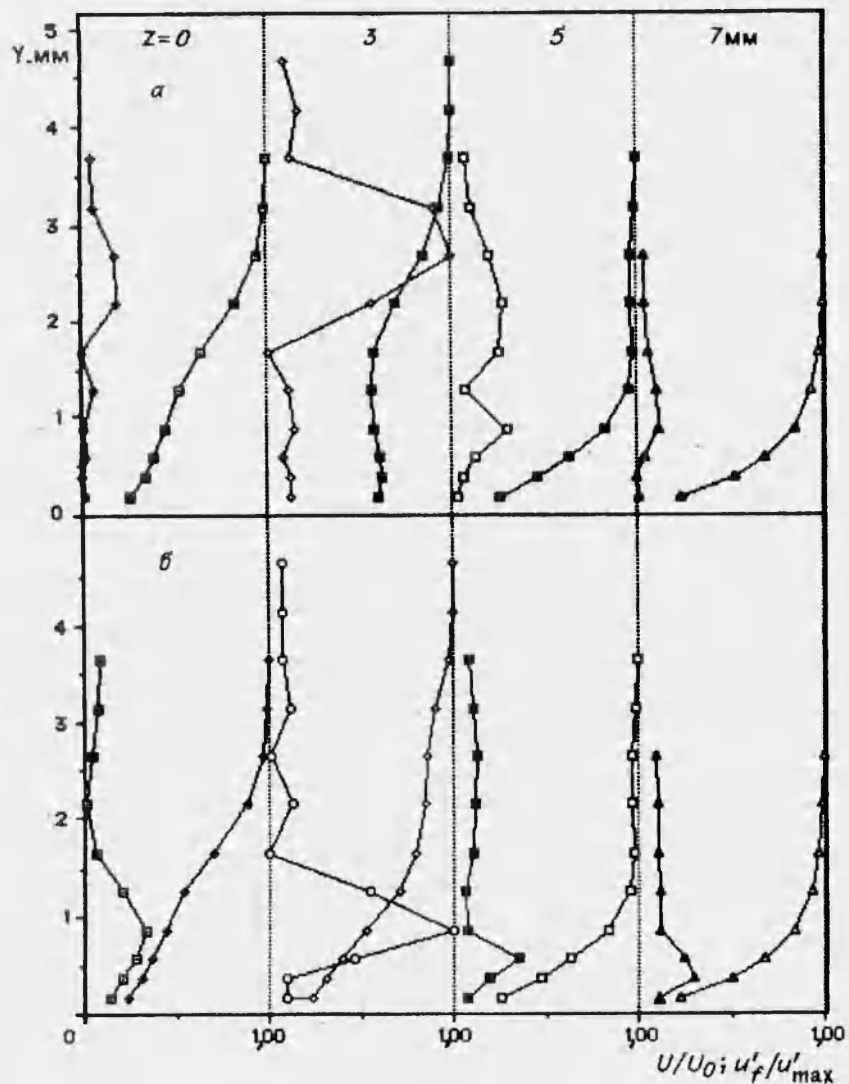


Рис. 6

некоторых случаях влиять на среднее течение в сдвиговом слое [12], меняя сам объект исследования. Ранее [9] для низкочастотных возмущений было обнаружено, что даже при введении возмущений с амплитудой в максимуме пульсаций в вихре около 1 % от  $U_0$ , при которой обычно начинают наблюдаться нелинейные явления, не происходит заметного искажения вихря.

В отличие от низкочастотных колебаний, возбуждение частоты 1800 Гц оказывает на поток мощное воздействие. На рис. 6 для  $X = 187$  мм показаны профили пульсаций  $u'_f(Y)$ , измеренные при возбуждении высокой (а) и низкой (б) частот, снятые в полосе 4 Гц, и соответствующие им профили средней скорости  $U(Y)$ . Пульсации нормированы на максимумы  $u'_{\max} = 1,4\%$  для высокочастотной волны и  $u'_{\max} = 0,5\%$  для низкочастотной, а профили средней скорости — на  $U_0$ .

Сопоставление рис. 4 и 6 показывает, что максимумы обоих возмущений достигаются приблизительно в одном сечении при  $Z = 3$  мм. Кроме того, в дополнение к рис. 3 и 4 эти профили иллюстрируют, что максимум высокочастотного возмущения достигается дальше от поверхности крыла, чем максимум низкочастотного. Однако видно, что возбуждение

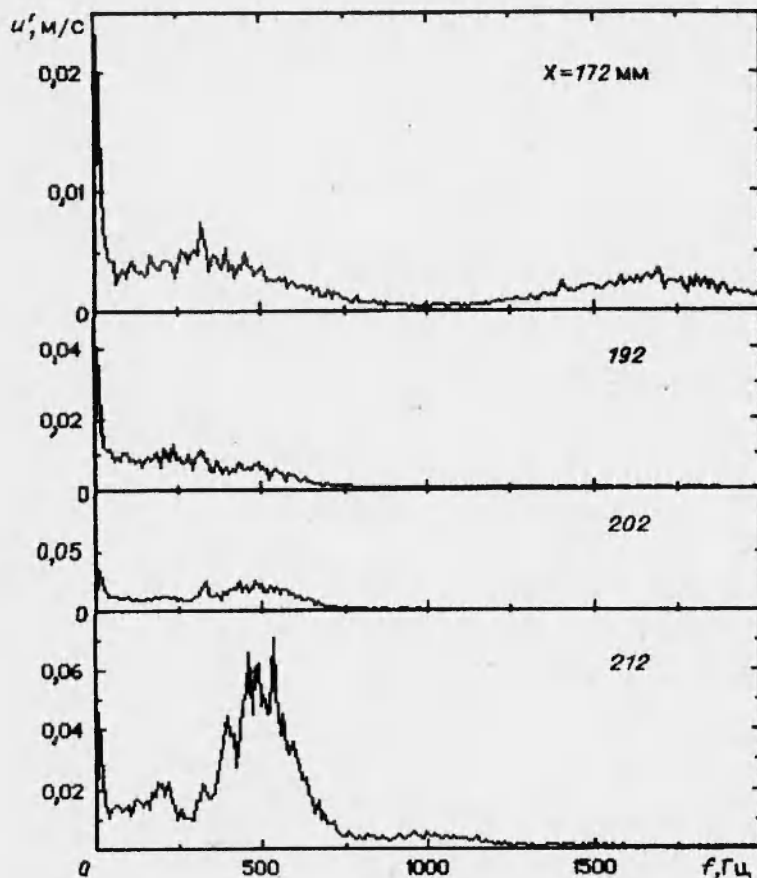


Рис. 7

частоты 1800 Гц приводит к тому, что профиль в сечении  $Z = 3$  мм из наполненного становится перегибным. В других сечениях по  $Z$  этот эффект практически незаметен. Такая локализация приводит, в частности, к тому, что при измерениях по  $Z$  при фиксированном  $Y$  (как на рис. 3 и 4) этот эффект трудно обнаружить. С другой стороны, следует отметить, что подобное влияние на профили средней скорости, будучи локальным по  $Z$ , нелокально в том смысле, что его присутствие оказывает влияние на события, происходящие в области по  $X$ , где возмущение высокой частоты уже затухло.

На рис. 7 и 8 представлены наборы спектров, полученных соответственно в естественном случае и при возбуждении в потоке высокочастотных колебаний, снятые в одних и тех же точках потока вблизи максимума интегральных пульсаций скорости. В обоих случаях переход к турбулентности происходит через усиление низкочастотного пакета, но усиление возмущений и заполнение спектра происходят раньше при возбуждении высокочастотной волны. Причем в первом сечении при  $X = 172$  мм наблюдается обратное явление — подавление фоновых пульсаций — эффект, известный и для других сдвиговых течений с преобладанием невязкой неустойчивости [13]. Из рис. 5 видно, что сечение  $X = 172$  мм соответствует области затухания высокочастотной волны, поэтому дальнейший бурный рост низкочастотного пакета, заметный уже при  $X = 192$  мм, вряд ли связан с прямой передачей энергии между возмущениями, а скорее — с изменением среднего течения, на фоне которого развивается и приводит к

перехода низкочастотный пакет волн.

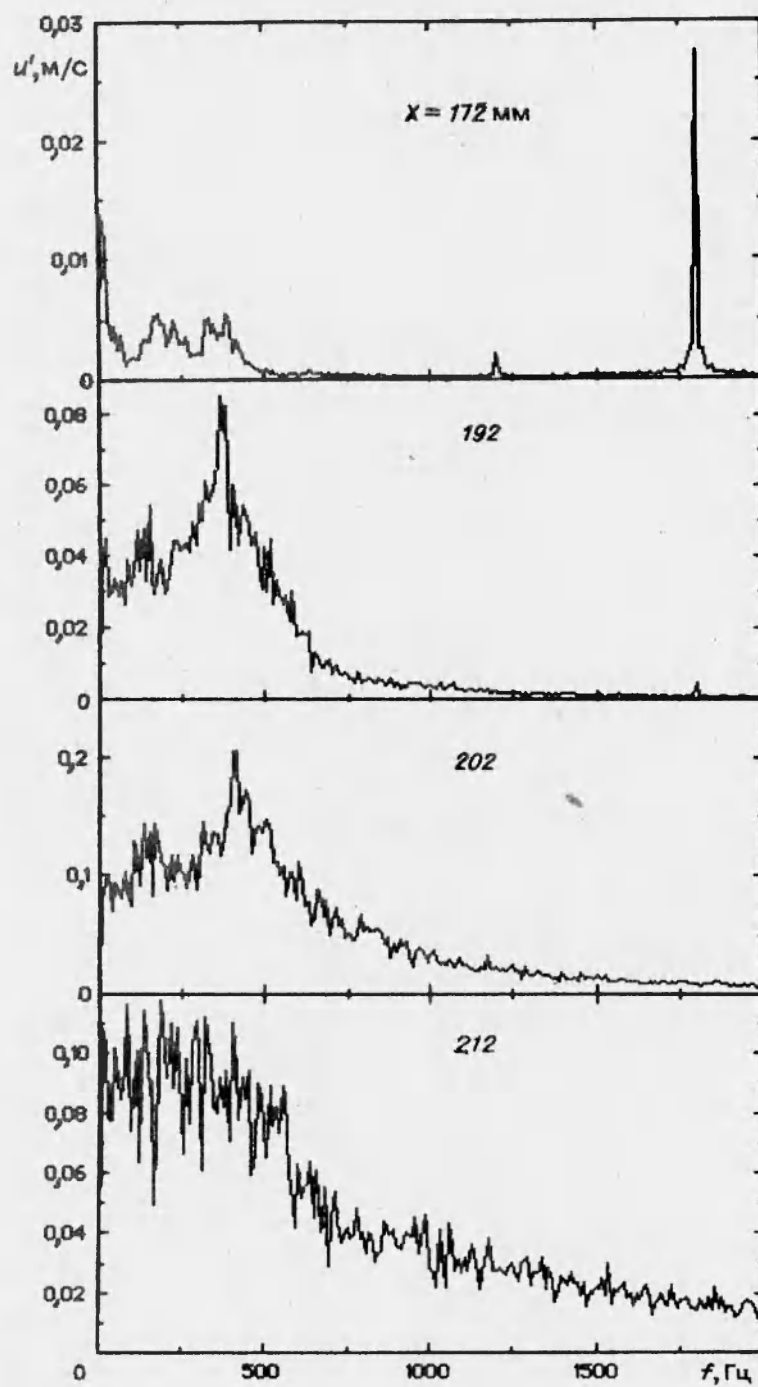


Рис. 8

**Выводы.** Таким образом, показано, что на исследуемом вихре образуются два пакета пульсаций, причем их характерные диапазоны частот и инкременты отличаются в несколько раз. Так же по-разному пакеты локализованы в вихре, однако скорости их распространения вдоль оси вихря в исследуемых условиях оказались практически одинаковыми. Отмечено,

что раннее нарастание высокочастотных колебаний не приводит к самостоятельному переходу к турбулентности, однако их возбуждение оказывает на него ускоряющее воздействие, изменяя профили средней скорости, на фоне которых развивается низкочастотная неустойчивость, что является основной причиной более быстрого усиления низкочастотных возмущений.

#### ЛИТЕРАТУРА

1. Reed H. L., Saric W. S. Stability of three-dimensional boundary layers // Ann. Rev. Fluid Mech. 1989. V. 21. P. 235–284.
2. Kohama Y. Some expectation on the mechanism of cross-flow instability in a swept wing flow // Acta Mech. 1987. V. 66. P. 21–38.
3. Dagenhart J. R., Saric W. S., Hoos J. A., Mousseux M. C. Experiments on swept-wing boundary layers // Laminar-Turbulent Transition: IUTAM Symp., Toulouse, 1989. Berlin: Springer-Verl., 1990.
4. Kohama Y., Saric W. S., Hoos J. A. A high-frequency, secondary instability of crossflow vortices that leads to transition // Boundary Layer Transition and Control: Proc. conf., Cambridge, 1991. London, 1991.
5. Bippes H. Experiments on transition in three-dimensional accelerated boundary layer flows // Boundary Layer Transition and Control: Proc. conf., Cambridge, 1991. London, 1991.
6. Fisher T. M., Hein S., Dallman U. A theoretical approach for describing secondary instability features in three-dimensional boundary-layer flows. N. Y., 1993. (Paper/AIAA; N 93-0080).
7. Floryan J. M. On the Goertler instability of boundary layers. Tokyo, 1991. (Tech. Rept/Nat. Aerospace Lab.; N 1120 T).
8. Xiuyang Y., Liu J. T. C. The secondary instability in Goertler flow // Phys. Fluids. 1991. V. A3, N 8.
9. Бойко А. В., Козлов В. В., Сызранцев В. В., Щербаков В. А. Экспериментальное исследование процесса перехода к турбулентности на одиночном стационарном возмущении в пограничном слое скользящего крыла // ПМТФ. 1995. Т. 35, № 1. С. 72–84.
10. Занин Б. Ю., Лушин В. Н. Сравнительные исследования обтекания профиля крыла в двух аэродинамических трубах // Сиб. физ.-техн. журн. 1991. Вып. 2. С. 99–103.
11. Айзин Л. Б., Поляков Н. Ф. Генерация волн Толлмина — Шлихтинга звуком на отдельной неровности поверхности, обтекаемой потоком. Новосибирск, 1979. (Препр./ АН СССР. Сиб. отд-ние. ИТПМ; № 17).
12. Бойко А. В. Развитие вихревых возмущений в локальных отрывных течениях: Автореф. дис. ... канд. физ.-мат. наук. Новосибирск: ИТПМ СО РАН, 1992.
13. Boiko A. V., Dovgal A. V., Scherbakov V. A., Simonov O. A. Effects of laminar-turbulent transition in separation bubble // Separated Flows and Jets: IUTAM Symp., Novosibirsk, 1990. Berlin: Springer-Verl., 1991.

*Поступила в редакцию 15/VII 1994 г.*